

تحلیل همدیدی، ترمودینامیکی جابجایی مکانی جت جنوب‌حاره‌ای در فعالیت کم‌فشار سودانی

(مطالعه موردی ترسالی‌های استان فارس)

زینب محمدی^۱، حسن لشکری^{۲*}

۱-دکتری آب و هواشناسی، مرکز مطالعات ناحیه‌ای و آمایش، دانشگاه شهید بهشتی

۲-دانشیار، دانشکده علوم زمین، دانشگاه شهید بهشتی

۱۳۹۷/۷/۴ پذیرش مقاله:

۱۳۹۷/۱۲/۲۳ تأیید نهایی مقاله:

چکیده

در این تحقیق از دو روش گردشی به محیطی و محیطی به گردشی استفاده شده است. برای مطالعه و تحلیل جابجایی مکانی جت جنوب‌حاره‌ای داده‌های داده‌های سایت <http://www.esrl.noaa.gov> استفاده شد. نقشه‌های جت طی دوره آماری ۲۱ سال در ماههای (اکتبر تا می) در محیط نرم افزاری grads ترسیم و محور جت‌ها برای هر ماه بر روی نقشه‌های پایه‌ای که در محیط نرم افزاری ARCGIS10.4 تهیه شده بود ترسیم شده است. سپس داده‌های ماهانه بارش ۹ ایستگاه همدید استان طی سال‌های زراعی (۱۳۷۵ تا ۱۳۹۶) استخراج نمونه‌های مطالعاتی انتخاب گردید. بررسی‌های چشمی انجام شده بر روی محور جت‌ها در ماههای مختلف نشان داد که محور جت‌ها دارای جابجایی شمال و جنوب سوی نسبتاً زیاد می‌باشند. از اول اکتبر به تدریج با جابجایی شرق سوی پرفشار عربستان جریان‌های جت در موقعیت مناسبی قرار گرفته و شرایط برای ایجاد ناپایداری‌ها فراهم می‌شود. در ماههای ژانویه و دسامبر جت در مناسب‌ترین حالت خود (شرق مصر تا غرب خلیج فارس) قرار می‌گیرد. نتایج حاصل از الگوی‌های همدید بارش‌های شدید نشان داد که از چند روز قبل از شروع بارش‌ها پشته عمیقی از روی آفریقا و مدیترانه مرکزی تا شمال عرض ۶۰ درجه گسترش یافته و جریانات را بر روی مدیترانه شرقی کاملاً نصف النهاری و باعث شکست در امواج راسی می‌گردد. شیوه حرارتی شدید حاصل از آن ضمن تقویت جت جنوب‌حاره‌ای، ناوه عمیقی را بر روی مدیترانه شرقی ایجاد می‌کند که با فرارفت سرد جنوب قطبی بر روی سامانه سودانی و فرارفت رطوبتی مناسب از روی دریاهای گرم عرب و عمان سامانه سودانی و ناوه دریای سرخ تقویت شده و ناپایداری شدیدی را بر روی منطقه ایجاد می‌کند.

واژه‌های کلیدی: همدید، ترمودینامیک، جت جنوب‌حاره‌ای، کم‌فشار سودان، استان فارس.

Email: h-Lashkari@sbu.ac.ir

*- نویسنده مسئول: ۹۱۲۳۲۷۳۷۱۵

جريان‌های جتی به دست آوردنده و به این نتیجه رسیدند که تشکیل توده‌های هوای گرم و مرتبط وسیع در لایه‌های میانی و بالایی وردسپهر، از جنوب به شمال حرکت می‌کند نیز شرایط همدیدی یکسانی را فراهم می‌سازد، از ویژگی همدیدی این بارش‌ها، وجود ناوه برگشتی بر روی دریای سرخ در سطح زمین و همراه با ناوه‌های ژرف و گسترده شرق مدیترانه و جريان‌های جتی ترازهای بالایی وردسپهر همراه است (ديان و آبراهام، ۱۹۸۴). در مدیترانه شرقی برای کم‌فشارهای بدون جبهه که از منطقه دریای سرخ و سودان به سمت شرق مدیترانه گسترش پیدا کرده و موجب بارش‌های سیل‌آسا می‌شود نام جدیدی تحت عنوان، ناوه برگشتی دریای سرخ برگزیده‌اند که این سامانه‌ها به وسیله جريان‌های جتی تقویت می‌شود (کریک و آلبرت، ۱۹۹۴). اثر متغیرهای گرمایی را در موقعیت یا ساختار جريان‌های جتی با مسیر مستقیم و منحنی، با الگوی واگرایی مرتبط با آن‌ها مورد آزمون قراردادند (زیف و پولار، ۱۹۹۸). در زمینه جريان‌های جتی می‌توان به کارهایی از جمله (کتانی و همکاران، ۲۰۰۱؛ گراورسانیز، ۲۰۰۲؛ يانگ، لا و کیم، ۲۰۰۶؛ کاتلیپ، ۲۰۰۳؛ به لک برن و کوشینز، ۲۰۰۷؛ گتنی و همکاران، ۲۰۱۱). در ایران مطالعه جريان‌های جتی به طور ویژه بسیار محدود بوده و فقط در بعضی از مطالعاتی که در زمینه آب و هواشناسی همدیدی صورت گرفته است، سیستم‌های سطح بالا نیز مورد توجه قرار گرفته‌اند. به طور کلی می‌توان مطالعات جريان‌های جتی را در ایران به صورت زیر ذکر کرد. ترابی در پایان‌نامه خود با عنوان بررسی جريان‌های جتی روی ایران مقدار متوسط جريان‌های جتی غربی روی شمال آفریقا و غرب آسیا برای سه ماه

مقدمه

شناخت جريان‌های جتی برای اولین بار در جريان حملات هوایی امریکا به ژاپن در طی جنگ جهانی دوم میسر شد و به سرپرستی راسبوی در مکتب شیکاگو ثابت و نام‌گذاری شد. تاکنون مطالعات موردی درباره این جريانات جتی انجام گرفته است، از جمله کارهایی که در زمینه جريان‌های جتی در جهان انجام شده است، به موارد زیر می‌توان اشاره داشت: بارش‌های سنگین مرکز ایالات متحده را با جريان‌های جتی به ناوه‌های ژرف و گسترده همراه با جريان‌های جتی ترازهای بالای وردسپهر ارتباط داده و مدلی برای این نوع بارش‌ها ارائه داده‌اند. و نیز در پایان یادآوری کرده‌اند که بارش‌های سنگین به وجود جريان‌های جتی قطبی و جريان‌های جتی جنب‌حاره‌ای به تفکیک و یا ترکیبی از آن‌ها نیاز است (اسمیت و یانکین، ۱۹۷۲). براساس بررسی کلاین تعداد ۵ ماهانه سیکلون‌های تشکیل شده در هر واحد ۴۰ درجه جغرافیایی، در تابستان در بالای مدار ۳۵ درجه به حداقل خود می‌رسد. طبق تحقیق او، کمربند حداقل سیکلون زایی، در تمام فصول سال، منطبق بر کمربند جريان‌های جتی جبهه قطبی در منطقه بروون حاره است (کلاین، ۱۹۸۴). نیمرخ قائم جو و تابش فرا سرخ، دما، دمای پتانسیل و بخارآب را در طی جريان‌های جتی در مسیر از والزمین تا کاراکاس را در روزهای ۷ و ۹ ژانویه ۱۹۶۱ بررسی کردند. در تحلیل همدیدی منطقه به نتایجی از تأثیر ابرها بر تابش فرا سرخ، نیمرخ قائم دما و بخار آب و تابش فرا سرخ بر روی جريان‌های جتی دست یافتند (جانسون و شن، ۱۹۸۶). در مطالعه خود ارتباط بارش‌های سنگین در خاورمیانه را به ویژگی‌های بی‌هنجری

جريان‌های جتی طی فازهای ENSO پرداختند و نتایج کار ایشان نشان داد که دو مسیر برای عبور جريان‌های جتی وجود دارد که مسیر جنوبی‌تر جريان‌های جتی جنب‌حاره‌ای بر فراز ایران و مسیر شمالی‌تر جريان‌های جتی جنب قطبی در عرض‌های ۴۰ تا ۷۵ درجه شمالی جريان دارد. مسیر عبور جريان‌های جتی جنب‌حاره‌ای در سال النينو در هر دو تراز ۲۰۰ و ۳۰۰ هکتوپاسکال به عرض‌های جنوبی‌تر منتقل می‌گردد (سفر راد و عزیزی، ۱۳۹۱). روند تغییرات فصلی جريان‌های جتی جنب حاره در محدوده اقلیمی ایران طی دهه‌های اخیر در تحقیقی مورد بررسی قرار گرفت نتایج کار نشان داد که بیشترین تغییرات مربوط به دهه پنجم (۱۳۷۰-۱۳۸۰) بوده است (عساکره و همکاران، ۱۳۹۴). آروین و همکاران در تحقیقی به تأثیر جريان‌های جتی جنب‌حاره‌ای بر بارش‌های روزانه بیش از ۵ میلی‌متر در حوضه زاینده‌رود پرداختند نتایج کار ایشان نشان داد که الگوی غالب در رخداد بارش بیش از ۵ میلی‌متر، قرارگیری چپ خروجی جريان‌های جتی جنب‌حاره‌ای بر روی دامنه فرازش موج‌کوتاه باد غربی است (آروین و همکاران، ۱۳۹۴). در زمینه جريان‌های جتی می‌توان به کارهایی از جمله تحقیق (لشکری و همکاران، ۱۳۹۶) بر روی جنوب و جنوب غرب ایران اشاره کرد. این تحقیق سعی دارد به این سؤال پاسخ دهد که جابجایی مکانی جت جنب‌حاره‌ای در دوره بارشی ایران چگونه است و همچنین موقعیت مکانی آن چقدر در تشدید فعالیت کم‌فشار سودانی تأثیرگذار است.

مواد و روش‌ها

در مطالعه حاضر از دو روش گردشی به محیطی و محیطی به گردشی استفاده شده است. در مرحله

زمستان (دسامبر، ژانویه و فوریه) موردمطالعه قرارداد. اطلاعات مورد استفاده مربوط به سال‌های ۱۹۷۵-۱۹۷۱ بوده و در دو قسمت به کار برده شده است: محور جريان‌های جتی در سطح ۲۰۰ میلی باری مقاطع عمودی جريان‌های جتی در طول جغرافیایی ۵۰ درجه شرقی که از غرب ایران می‌گذرد تهیه شده، اطلاعات لازم و ایستگاه‌ها بین ۱۰ تا ۵۰ درجه طول شرقی و ۱۰ تا ۵۰ درجه عرض شمالی استفاده شده است. ماکزیمم سرعت باد از ۴۲/۵ متر بر ثانیه در ماه دسامبر به ۵۰ متر بر ثانیه در ماه‌های ژانویه و فوریه افزایش می‌یابد (ترایی، ۱۳۵۵ به نقل از خورانی، ۱۳۸۴). تعیین موقعیت جريان‌های جتی در رابطه با سامانه‌های بارشی غرب کشور با استفاده از داده‌های بارشی ۷ ایستگاه در دو استان ایلام و کرمانشاه در دوره ۱۰ ساله، نتیجه گرفت که در دو روز قبل از بارش مسیرهای جريان‌های جتی دارای انحناء آنتی سیکلونی بوده و در روزهای آغاز و بیشینه بارش انحناء چرخندی پیدا می‌کنند. هسته‌های جريان‌های جتی نیز در دو روز قبل از بارش پراکنده بوده و در روزهای آغاز و حداقل بارش در دو منطقه متumer کر شده‌اند. در حالی که هسته‌های جريان‌های جتی در قسمت اول قرار دارند، منطقه موردمطالعه در قسمت خروجی هوای سردهسته جريان‌های جتی و در حالی که هسته‌های جريان‌های جتی در قسمت دوم قرار دارند، در ناحیه ورودی هوای گرم قرار می‌گیرد. این شرایط باعث تقویت سامانه‌های کم‌فشار سطح زمین می‌شود. بین سرعت هسته‌های جريان‌های جتی و میزان بارش سامانه‌ها، رابطه خطی خاصی وجود ندارد. این امر به علت تأثیر عوامل متعدد در میزان بارش سامانه‌ها شده است (خورانی، ۱۳۸۴). سفر راد و عزیزی در تحقیقی به تحلیل ویژگی‌های

خشک‌سالی‌ها استفاده شده است، شاخص SPI در تحلیل منطقه‌ای خشک‌سالی و مطالعات تطبیقی و مقایسه‌ای استفاده می‌شود (هایز، ۱۹۹۹). روش بارش استاندارد شده (SPI) از روش‌های متداول خشک‌سالی‌ها و ترسالی‌ها در مناطق و ایستگاه‌های مختلف است. مبنای این روش داده‌های استاندارد شده بارش است که هر چه از میانگین تغییر کند ترسالی و خشک‌سالی را در ماههای مختلف سال و یا کل سال می‌توان تعیین کرد.

$$SPI = \frac{P_K - \bar{P}_i}{\sigma_i}$$

اول داده‌های موردنیاز (بادمداری و نصف‌النهاری) از سایت <http://www.esrl.noaa.gov> دریافت گردید و سپس در محیط نرم‌افزار Grads پس از ترکیب باد مداری و نصف‌النهاری نقشه‌های جت در ماههای دوره بارشی (اکتبر تا می) ترسیم گردید و محور جت جنب‌حاره‌ای پس از ترسیم ArcGIS 10.4 نقشه پایه در محیط نرم‌افزاری ۹ ایستگاه ترسیم گردید. از داده‌های ماهانه بارش ۱۳۷۶-۱۳۹۵ تا ۱۳۹۶ استان فارس طی سال‌های زراعی (۱۳۹۵-۱۳۹۶) استفاده شده است (شکل ۱). ملاک انتخاب ایستگاه‌ها دوره آماری مشترک ۲۱ ساله در همه ایستگاه‌ها است. در این تحقیق از شاخص SPI برای بررسی ترسالی‌ها و

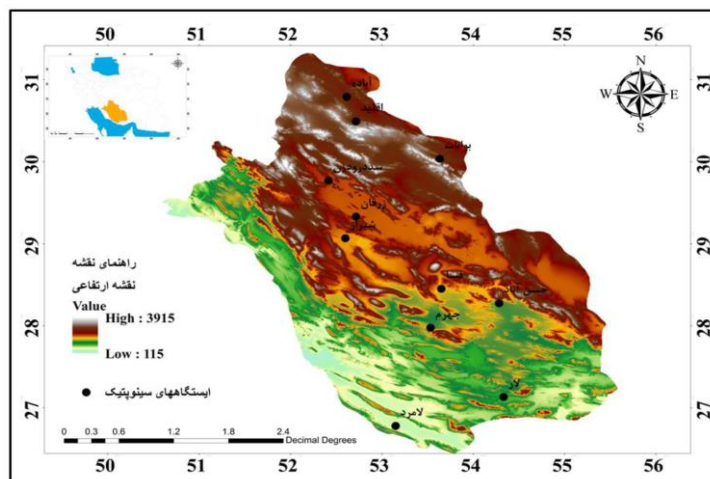
جدول ۱: مقیاس طبقه‌بندی برای مقادیر SPI

| طبقه | شدیداً مرطوب | خیلی مرطوب | مرطوب متوسط | تقریباً نرمال | خشک متوسط | خیلی خشک | شدیداً خشک |
|------------|--------------|------------|-------------|---------------|-------------|----------------|------------|
| مقادیر SPI | >2 | ۱.۵ تا ۱.۹ | ۱ تا ۱.۴۹ | ۰.۹۹ تا -۰.۹۹ | -۱ تا -۱.۴۹ | -۱.۹۹ تا -۱.۴۹ | <-۲ |

منبع: لشني زند (۱۳۸۳) به نقل از (مک‌کی، ۱۹۹۳)

ترسالی‌های استان در سال (۱۳۸۴-۸۵) رخ داده است و در همه ایستگاه‌های استان فراگیر بوده است.

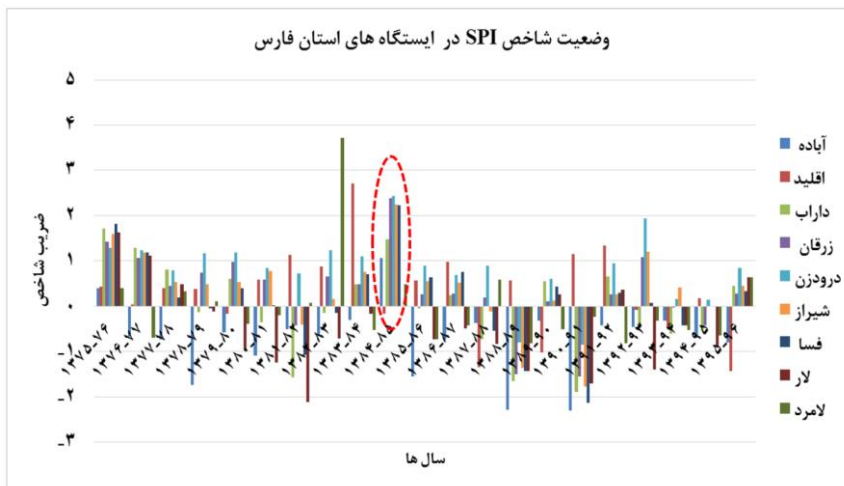
برای محاسبه شاخص از نرم‌افزار DIP استفاده گردید. شکل ۱ پرآنکش ایستگاه‌های انتخابی را نشان می‌دهد. نتایج حاصل از شاخص SPI برای ایستگاه‌های موردمطالعه نشان داد که شدیدترین



شکل ۱: موقعیت جغرافیایی ایستگاه‌های موردمطالعه

جدول ۲: مقدار شاخص SPI در ایستگاه‌های استان فارس

| | آباده | اقلید | داراب | زرقان | دروزن | شیراز | فسا | لار | لامرد |
|---------|-------|-------|-------|-------|-------|-------|-------|-------|-------|
| 1375-76 | 0,4 | 0,43 | 1,72 | 1,43 | 1,29 | 1,59 | 1,81 | 1,63 | 0,4 |
| 1376-77 | -0,67 | 0,03 | 1,29 | 1,06 | 1,23 | 1,18 | 1,18 | 1,11 | -0,7 |
| 1377-78 | -0,73 | 0,4 | 0,81 | 0,44 | 0,79 | 0,54 | 0,2 | 0,48 | 0,33 |
| 1378-79 | -1,75 | 0,38 | -0,13 | 0,74 | 1,16 | 0,49 | -0,04 | -0,11 | 0,1 |
| 1379-80 | -0,58 | -0,17 | 0,61 | 0,98 | 1,19 | 0,54 | 0,4 | -0,94 | -0,39 |
| 1380-81 | -1,09 | 0,59 | -0,36 | 0,58 | 0,85 | 0,77 | 0,02 | -1,25 | -0,2 |
| 1381-82 | -0,51 | 1,13 | -1,58 | -0,43 | 0,72 | -0,4 | -1,08 | -2,12 | 0,07 |
| 1382-83 | -0,66 | 0,88 | -0,15 | 0,65 | 1,23 | 0,15 | -0,15 | -0,72 | 3,71 |
| 1383-84 | -0,3 | 2,7 | 0,48 | 0,48 | 1,1 | 0,76 | 0,7 | -0,17 | -0,53 |
| 1384-85 | 1,06 | -0,17 | 1,48 | 2,38 | 2,43 | 2,24 | 2,23 | -0,01 | 0,49 |
| 1385-86 | -1,56 | 0,56 | -0,04 | 0,26 | 0,89 | 0,55 | 0,64 | -0,73 | -0,74 |
| 1386-87 | -0,74 | 0,98 | 0,25 | 0,27 | 0,69 | 0,52 | 0,75 | -0,5 | -0,42 |
| 1387-88 | -0,37 | -1,35 | -0,74 | 0,2 | 0,89 | -0,11 | -0,54 | -0,83 | 0,58 |
| 1388-89 | -2,29 | 0,56 | -1,66 | -1,5 | -0,8 | -1,36 | -1,43 | -1,43 | -0,82 |
| 1389-90 | -0,32 | -1,03 | 0,55 | 0,1 | 0,61 | 0,12 | 0,43 | 0,26 | -0,51 |
| 1390-91 | -2,31 | 1,15 | -1,89 | -1,55 | -0,85 | -1,78 | -2,13 | -1,71 | -0,24 |
| 1391-92 | -0,42 | 1,33 | 0,66 | 0,26 | 0,95 | 0,26 | 0,3 | 0,37 | -0,81 |
| 1392-93 | -0,46 | -0,08 | -0,5 | 1,09 | 1,94 | 1,2 | 0,08 | -1,4 | -0,33 |
| 1393-94 | -0,32 | -0,5 | -0,61 | -0,03 | 0,16 | 0,41 | -0,43 | -0,43 | -0,52 |
| 1394-95 | -0,7 | 0,17 | -0,55 | -0,43 | 0,14 | -0,02 | -0,02 | -0,9 | -0,64 |
| 1395-96 | -0,8 | -1,44 | 0,45 | 0,27 | 0,84 | 0,44 | 0,33 | 0,64 | 0,64 |



شکل ۲: وضعیت ضریب شاخص SPI در استان فارس

پس از تهیه داده‌های موردنیاز از سایت مرکز ملی جو و اقیانوس‌شناسی آمریکا (Ncep/Ncar) در محیط نرم‌افزاری Grads ترسیم گردیده است.

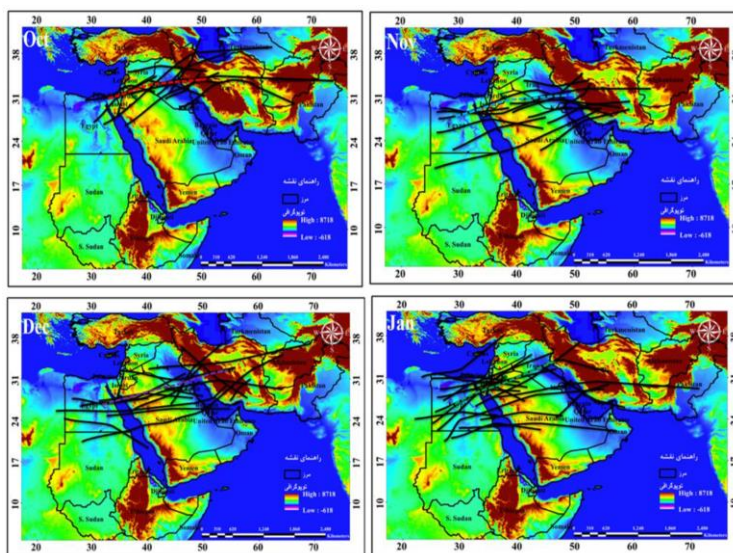
نتایج
جت جنوب‌حراره‌ای یکی از مهم‌ترین سامانه‌های جوی بر روی پدیده‌های اقلیمی عرض‌های

و درنهایت روزهای بارشی در سال‌های با ترسالی شدید مورد بررسی قرار گرفت و روزهایی که در تمامی ایستگاهها بارش بهصورت فراگیر و بالای ۲۰ میلی‌متر به ثبت رسیده بهعنوان نمونه بارشی انتخاب گردید و نقشه‌های ترکیبی شامل نقشه جت جنوب‌حراره‌ای، توپوگرافی، نم ویژه و وزش دمایی در ترازهای ۱۰۰۰ تا ۷۰۰ هکتوپاسکال

دستخوش تغییر است و همچنان جابجایی ITCZ و پرفشار جنوب‌حراءی نیز در مناطق مختلف جغرافیایی متفاوت است.

تحلیل موقعیت ماهانه جت جنوب‌حراءی
مهم‌ترین جت تأثیرگذار در پدیده‌های اقلیمی و شرایط جوی روزانه نوار جنوب و جنوب غربی کشور ایران جت جنوب‌حراءی است. اشکال ۳ و ۴ موقعیت محور جت جنوب‌حراءی را در هریک از ماههای هشتگانه دوره بارشی نشان می‌دهد. شکل ۳ موقعیت محور مرکزی جت جنوب‌حراءی را در ۱۳۷۵ ماه اکتبر تا ژانویه در دوره آماری ۲۱ ساله (۱۳۹۶) نشان می‌دهد. محور جت‌ها در طول دوره ۲۱ ساله پراکنشی در ماه اکتبر بین عرض‌های ۲۵ تا ۳۸ درجه شمالی دارند. تمرکز محورها در محدوده عرض ۳۲ درجه شمالی است. ملاحظه می‌شود با وجود اینکه اعتدالین شروع شده است ولی به دلیل جابجایی کند جنوب سوی پرفشار جنوب‌حراءی عربستان، جت جنوب‌حراءی نیز جابجایی جنوب سوی مناسبی ندارد.

جنوب‌حراءی است. جت‌ها اصولاً با توجه به ساختار دینامیکی خود نقش مهمی در تشید ناپایداری‌های لایه زیرین خود دارند. جت‌ها همچنین در پیشانی دو توده هوایی با شرایط حرارتی و دینامیکی متفاوت شکل می‌گیرند. با وجود اینکه جت‌های جنوب‌حراءی حاصل یک فرایند دینامیکی حاکم در جریانات جنوبی لایه‌های بالای سلول هدلی و اصل ثابت بودن تکانه زاویه‌ای حاصل می‌شوند. و عمدتاً در دامنه شمالی واخرخند جنوب‌حراءی قرار دارند. ولی تشید جریانات سرد شمالی ناوه عرض‌های جنوب قطبی و گرادیان حرارتی حاصل از آن نیز نقش بسیار مهمی در تقویت و تشید آن‌ها دارند. جت جنوب‌حراءی نیز همانند جابجایی سالانه در مکان جغرافیایی سامانه‌های اصلی سازنده گردش عمومی جو، جابجایی مداری و نصفالنهاری نسبتاً قابل توجهی دارند. به طوری که با جابجایی سلول‌های پرفشار جنوب حراء و منطقه همگرایی حراءی موقعیت مکانی و سرعت آن‌ها نیز



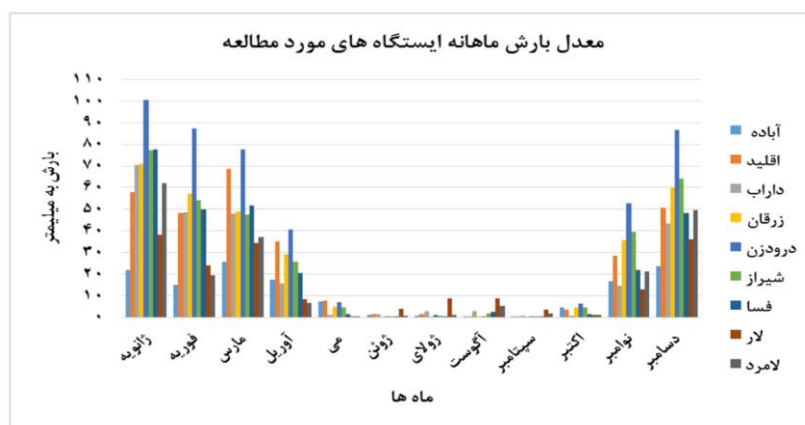
شکل ۳: محور جت جنوب‌حراءی در ماههای اکتبر تا ژانویه تراز ۲۵۰ هکتوپاسکال

بارش‌ها در نوار جنوبی و حتی مرکزی کشور در ماه اکتبر شروع نشده یا تا پایان اکتبر به تأخیر می‌افتد. نظم عمومی محورها جنوب غربی -

به جز در چند سال محدود که جت حرکت جنوب سوی مناسبی دارد. در سایر سال‌ها جت همچنان در عرض‌های بالا استقرار دارد. به همین دلیل

شرایط پاییزی در این منطقه است. پراکنش محور جت جنوب‌حراء‌ای در ماه دسامبر نسبت به دو ماه قبل منظم‌تر و از پراکندگی محورها کاسته شده است به‌جز در چند مورد استثنای که محورها بر روی ایران قرار داشته یا حالت نامتقارنی دارند در سایر سال‌ها محورهای جت جنوب‌حراء‌ای در محدوده نرمال خودبین مصر تا غرب خلیج فارس استقرار دارند. مرکز اصلی محورها بین عرض‌ها ۲۴ تا ۲۶ درجه شمالی قرار دارند. موقعیت عمومی محورها به‌گونه‌ای است که جنوب و جنوب غرب ایران در مناسب‌ترین موقعیت از جت جنوب‌حراء‌ای (سمت چپ خروجی جت) قرار می‌گیرد. به همین دلیل ماه دسامبر یکی از ماه‌های اوج فعالیت سامانه سودانی و همچنین ماه‌های پربارشی نوار جنوبی و مرکزی کشور ایران است. شکل ۴ مدل بارش ماهانه تعدادی از ایستگاه‌های منطقه مورد مطالعه را نشان می‌دهد. همان‌طور که دیده می‌شود ماه دسامبر یکی از ماه‌های پر بارش اکثر ایستگاه‌های استان‌های جنوبی کشور است.

شمال شرقی است و در موارد اندکی محور طولانی بسیار گستردگی دارند. مرکز طولی محورها بین ساحل شرقی مدیترانه تا دامنه‌های زاگرس شمالی است. محور جت جنوب‌حراء‌ای در ماه نوامبر در مقایسه با ماه اکتبر محور جت‌ها جابجایی جنوب سوی قابل توجهی را نشان می‌دهند. عموم محورها در جنوب عرض ۳۲ درجه شمالی قرار دارند و از ضلع جنوبی تا عرض ۲۰ درجه نیز گسترش پیدا کرده‌اند. مرکز اصلی محورها در محدوده عرض ۲۸ تا ۲۹ درجه شمالی است و از لحاظ گسترش طولی محدوده‌ای بین ۲۵ درجه شرقی (مصر) تا ۶۰ درجه شرقی (جنوب شرق ایران) را در برگرفته‌اند. نظم عمومی محورها غربی-شرقی و بندرت جنوب غربی-شمال شرقی است. این جابجایی سریع محورها بیانگر جابجایی جنوب سوی قابل توجه پروفشار جنوب‌حراء‌ای عربستان و جت جنوب‌حراء‌ای مرتبط با آن از ماه اکتبر تا نوامبر است. بنابراین ماه نوامبر شروع فصل بارشی در جنوب و جنوب غرب ایران و در عین حال تغییر ناگهانی از شرایط تابستانی به



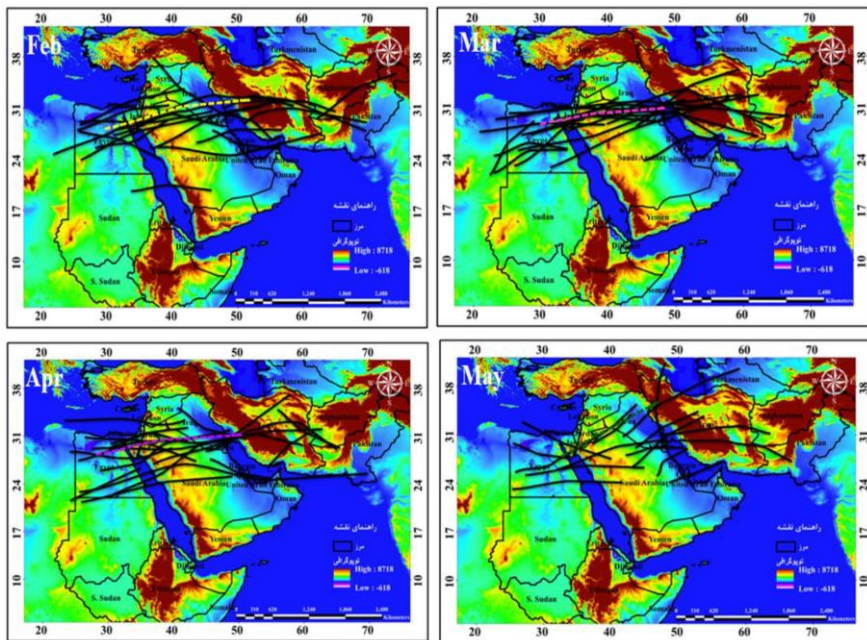
شکل ۴: م معدل بارش ماهانه ایستگاه‌های مورد مطالعه

و شکست در امواج راسبی جت جنوب‌حراء‌ای و جت قطبی به هم نزدیک‌تر شده و به دلیل شیوه حرارتی شدیدتر ایجاد شده در محدوده پروفشار جنوب‌حراء‌ای عربستان و ناوه شرقی مدیترانه

پراکنش محور جت جنوب‌حراء‌ای در ماه ژانویه نشان می‌دهد که با نزدیک شدن به سردترین ماه نیمکره شمالی و فرارفت‌های سرد شدیدتر عرض‌های شمالی از طریق ناووه‌های گسترش یافته

درجه شمالی و از لحاظ طولی در محدوده طول‌های ۲۳ تا ۴۵ درجه شرقی قرار دارند. محور تمرکز و تراکم و موقعیت میانگین استقرار جت‌ها بر روی عرض ۳۰ درجه شمالی است. این ماه نیز از ماه‌های پر بارش این منطقه و همچنین فعالیت بیشتر سامانه سودانی است.

هسته‌های جت متعددتری شکل گرفته است. در قیاس با ماه‌های قبل محور طولی جت‌ها کوتاه‌تر و تعداد جت‌های تشکیل شده متنوع‌تر و متعدد‌تر شده است. کوتاه شدن محور طولی هسته جت بیانگر افزایش سرعت در هسته جت و به‌تبع ایجاد کژفشاری شدیدتر شده است. تمرکز اصلی محورهای جت از لحاظ عرضی بین ۲۰ تا ۳۲



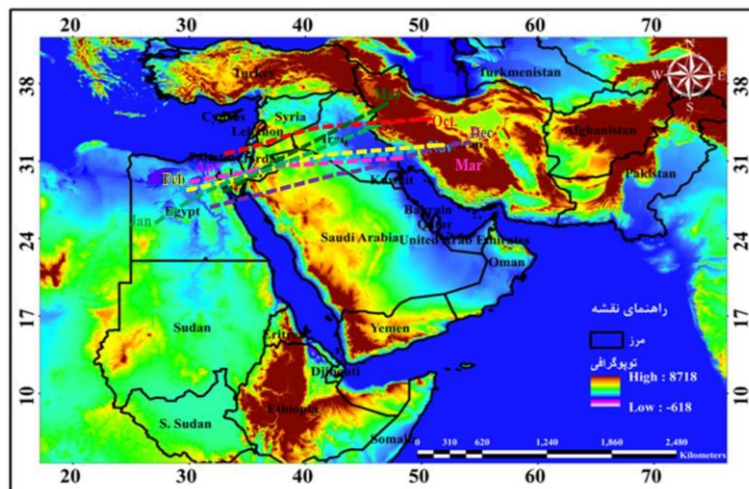
شکل ۵: محور جت جنوب‌حراره‌ای در ماه‌های فوریه تا می تراز ۲۵۰ هکتوپاسکال

است که مجموع بارش‌ها این ماه نسبت به ماه‌های زانویه و دسامبر و حتی مارس کاهش محسوسی پیدا کند. مطالعه انجام شده بر روی هسته‌های مرکزی پرشار جنوب‌حراره‌ای عربستان نیز نشان داد که هسته‌های پرشار در این ماه جابجایی شمال سوی قابل توجهی داشته است (محمدی و همکاران، ۱۳۹۶). این جابجایی در هسته مرکزی پرشار و همچنین محور جت جنوب‌حراره‌ای شاید یکی از دلایل اصلی کاهش بارش‌ها در این بخش از کشور در ماه فوریه است. جت ماه مارس در قیاس با ماه فوریه از پراکندگی محورها کاسته شده است و تمرکز و انسجام بیشتری در پراکنش محورها به چشم می‌خورد. با وجود اینکه همچنان

شکل ۵ محور جت جنوب‌حراره‌ای را در ماه‌های فوریه تا می در تراز ۲۵۰ را نشان می‌دهد. در ماه فوریه پدید مشهود در پراکنش محورها نسبت به دو ماه قبل جابجایی قابل توجه محورها به عرض‌های شمالی است. به‌طوری که عمدۀ محورها در موقعیتی بالاتر از عرض ۲۵ درجه شمالی قرار دارند. تمرکز اصلی محورها از لحاظ طولی در محدوده مصر تا غرب طول ۵۵ درجه شرقی (دامنه شرقی زاگرس میانی و جنوبی) است. ولی گاهی محورها تا پاکستان نیز گسترش داشته‌اند. از ویژگی بارز محورهای این ماه طول بسیار زیاد محورها و جابجایی شرق سوی محورها به خصوص بر روی ایران است. مجموع این شرایط سبب شده

نیز ماه بارشی نسبتاً خوبی به خصوص در ایستگاه‌های پای کوهی و کوهستانی زاگرس جنوبی و میانی است. پراکنش محور جت جنوب‌حاره‌ای در ماه می و تقریباً آخرین ماه بارشی استان‌های جنوبی و جنوب غربی کشور را نشان می‌دهد. همان‌طور که دیده می‌شود در این ماه محور جت جنوب‌حاره‌ای جابجایی شمال سوی فراوانی را نشان داده است. به طوری که عمدۀ محورها در بالای عرض ۲۴ درجه شمالی قرار داشته و تا عرض ۳۵ درجه شمالی نیز گسترش پیدا کرده‌اند. از ویژگی بارز دیگر محورها انتقال تعداد زیادی از محورها بر روی غرب ایران است. به طوری که حدود نصف محورها در محدوده عراق و شمال عربستان تا مرکز و شرق ایران قرار دارند. در این سال‌ها به طور قطع بارش‌ها با توجه به الگوی گسترش جت و موقعیت منطقه جنوب و جنوب غرب نسبت به موقعیت جت، بارش بسیار اندکی دریافت کرده و سامانه‌های بارشی کمتری وارد منطقه شده و یا از ناپایداری مناسبی برخوردار نبوده‌اند. به همین دلیل می‌توان گفت ماه انتقالی واقعی در بخش جنوب و جنوب غربی کشور ماه می است که شرایط رزمستانی به یک‌باره به شرایط تابستانی در ماه ژوئن تغییر می‌یابد.

محورها از لحاظ طولی گسترش بسیار زیادی را نشان می‌دهند. به طوری که از غرب مصر تا شرق پاکستان را در برمی‌گیرند. ولی از لحاظ گسترش عرضی تمرکز بیشتری دارند. از ویژگی بارز محورهای دو ماه فوریه و مارس طول بسیار زیاد محور اصلی جت جنوب‌حاره‌ای است. این به منزله عمق کم ناوه و مداری شدن جریانات در عرض‌های جنوب‌حاره‌ای است. مطالعه دقیق‌تر بر روی محور جت جنوب‌حاره‌ای در دو سال پر بارش (۱۹۹۶-۱۹۹۷ و ۲۰۰۳-۲۰۰۴) نشان داد که موقعیت متوسط محور جت در این سال‌ها در همان موقعیت مطلوب بین غرب مصر تا غرب خلیج‌فارس بوده است. در ماه آوریل که ماه انتقالی از زمستان به بهار و ماه اعتدالین است. با وجود اینکه انتظار می‌رفت در این ماه محورها نسبت به ماه‌های فوریه و مارس جابجایی شمال سوی قابل توجهی داشته باشند. ولی پراکنش محورهای جت الگویی شبیه الگوی ماه ژانویه دارند. همچنان تمرکز اصلی محورها در محدوده عرض ۲۱ تا ۳۲ درجه شمالی از لحاظ طولی بین غرب مصر تا غرب خلیج‌فارس است. محورها دارای طول نسبتاً کوتاه و کشیدگی در جهت جنوب غرب تا شمال شرق دارند. این ماه

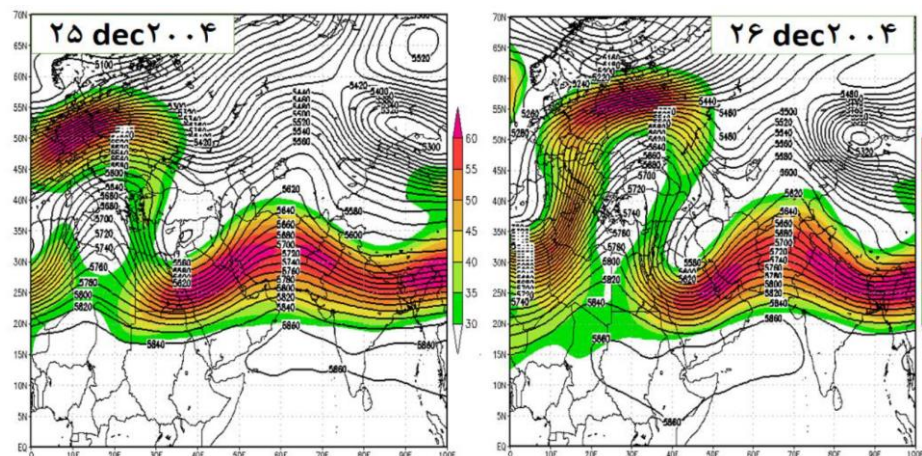


شکل ۶: میانگین محور جت جنوب‌حاره‌ای در ۸ ماه دوره بارشی تراز ۲۵۰ هکتوپاسکال

تا عرض جنوب قطبی جریانات بر روی اروپا شرقی، شرق مدیترانه و شمال شرق صحراى افریقا کاملأً شمالی شده و فرارفت سرد عرض‌های شمالی تا مرکز سودان نشان می‌دهد که پربندها کاملأً نصفالنهاری شده و بیانگر فرارفت تاوایی مثبت قوی بر روی مصر و سودان است. با گسترش قابل توجه پشته از روی پرفشار آفریقا و شکست در امواج راسبی، ناوه مدیترانه‌ای گسترش قابل توجهی به عرض‌های جنوبی پیدا کرده است. درنتیجه هسته کم ارتفاع بریده تا جنوب عراق و خوزستان پایین آمده است. فرارفت سرد در ترازهای میانی و بالایی وردسپهر و فرارفت گرم و مرتبط از روی دریاهای گرم عرب و عمان و دریای سرخ از طریق جریانات واچرخندی پرفشار عربستان شیو حرارتی و فشاری شدیدی را در شمال عربستان و جنوب ایران ایجاد نموده است. این شیو حرارتی شدید و تزریق تاوایی مثبت قوی به‌وسیله ناوه فشاری شرق مدیترانه سبب ایجاد جت قوی در جلو ناوه شده است. هسته جت با امتداد جنوب غربی - شمال شرقی بر روی خلیج‌فارس، بوشهر و فارس قرار دارد. جت دارای مؤلفه نصفالنهاری مناسب بوده و از تاوایی مناسبی برخوردار است. جت جنبدارهای یکی از عوامل دینامیکی مهم در منطقه خاورمیانه است که با تقویت ناوه مدیترانه در ترازهای زیرین خود نقش بسیار مهمی در تقویت کم‌فشار سودان دارد (پیترزو واف، ۲۰۰۳) با بررسی تأثیر دو جت جنبدارهای و قطی در عمیق شدن ناوه مدیترانه و ایجاد شکست در امواج راسبی چهار الگوی متفاوت را ارائه کرده‌اند. مهم‌ترین این الگوها عبارت‌اند از؛
 ۱) وجود یک جت منفرد در سراسر منطقه شکست موج

تحلیل همدیدی نمونه بارشی ۲۵ و ۲۶ دسامبر ۲۰۰۴ برای بررسی و تحلیل نقش موقعیت مکانی و الگوی گسترش جت جنبدارهای بر روی بارش‌های نوار جنوبی کشور استان فارس به‌عنوان نمونه انتخاب و پس از بررسی وضعیت بارشی ایستگاه‌های استان در یک دوره آماری ۲۰ ساله و تعیین خشکسالی‌ها و ترسالی‌های استان سال ۱۳۸۴-۱۳۸۳ به‌عنوان سال‌تر سال شدید انتخاب و نقش جت جنبدارهای در بارش‌های این سال مورد تحلیل قرار گرفته است. براساس نتایج حاصل از تحقیق رساله (محمدی، ۱۳۹۶) بر روی موقعیت مکانی جت جنبدارهای در یک دوره آماری ۶۶ ساله که نشان داد ترازهای ۲۵۰ و ۲۰۰ هکتوپاسکال مناسب‌ترین تراز برای بررسی و مطالعه جت جنبدارهای است. در این تحقیق نیز موقعیت و الگوی گسترش جت جنبدارهای در تراز ۲۵۰ هکتوپاسکال تحلیل می‌شود. برای تحلیل همدیدی و ترمودینامیکی ساختار جو و الگوی گسترش جت جنبدارهای روزهای ۲۵ و ۲۶ دسامبر ۲۰۰۴ به‌عنوان شدیدترین روزهای بارشی سال انتخاب شده و مورد تحلیل قرار می‌گیرد. شکل ۷ موقعیت جت جنبدارهای مؤثر بر روی ایران را در تراز ۲۵۰ هکتوپاسکال (موقعیت‌های رنگی) و نقشه ارتفاعی تراز ۵۰۰ هکتوپاسکال به‌عنوان نماینده ساختار همدیدی جو در لایه میانی وردسپهر را نشان می‌دهد. در هر دو روز پشته بسیار گستردگی و عمیقی با راستای کاملأً جنوبی - شمالی از روی صحراى آفریقا (محدوده طول‌های ۱۰ تا ۳۰ درجه شرقی) به عرض‌های شمالی گسترش یافته و تا حدود عرض ۶۰ درجه شمالی (جنوب کشور) تداوم دارد. با گسترش قابل توجه پشته بر روی اروپا و امتداد آن

یک برکه هوای سرد که گسترش جنوب سوی قابل توجهی پیدا کرده است شیوه حرارتی شدیدی در بالادست جت ایجاد نموده است. با فرارفت رطوبت از دریاهای گرم جنوبی و همراه شدن آن با ناوه وردسپهر بالایی منجر به ایجاد شرایط ناپایداری بر روی دریای سرخ، سودان و شمال اتیوپی گردیده و زبانه‌ای از کم‌فشار سودان به شکل ۷ وارونه به سمت عرض‌های شمال تا شمال غرب عربستان و گاه به صورت یک ناوه وارون تا شرق مدیترانه، جنوب ترکیه امتداد می‌یابد. این الگو با نتایج مقالات (الفندی، ۱۹۵۰)، (باتین، ۱۹۹۲)، (سارونی و زیو، ۲۰۰۰)، (کهاناو همکاران، ۲۰۰۲)، (کریچاک و همکاران، ۲۰۱۲) در مورد تراف دریای سرخ و اثر آن بر بارش‌های ساحل شرقی مدیترانه همخوانی دارد.



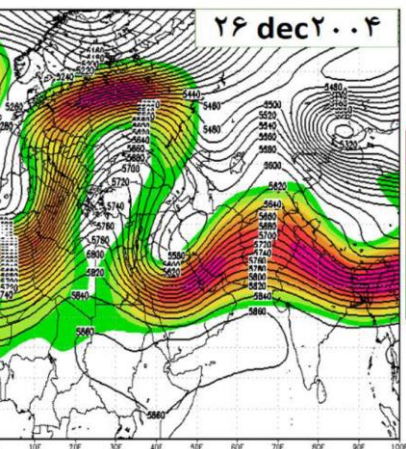
شکل ۷: نقشه جت جنوب‌حراء‌ای تراز ۵۰۰ هکتوپاسکال و نقشه ارتفاعی تراز ۵۰۰ هکتوپاسکال در نمونه بارشی ۲۵ و ۲۶ دسامبر ۲۰۰۴

نصف‌النهاری آن (امتداد جنوب غربی-شمال شرقی) زبانه کم‌فشار سودانی تقویت قابل ملاحظه‌ای پیدا کرده و با گسترش شمال سوی خود در امتداد جریانات جنوبی ترازهای بالا در روز اول تا شمال ترکیه و با جابجایی شرق سوی ناوه مدیترانه‌ای در روز دوم تا شمال ترکمنستان و ساحل شرقی دریای مازندران گسترش یافته است.

۲) جت شکسته که در نزدیک حداکثر سرعت جت قطبی شکست ضعیفی در جت جنوب‌حراء‌ای رخ می‌دهد.

۳) وجود یک جت قطبی در جریان پاد سوی جت جنوب‌حراء‌ای.

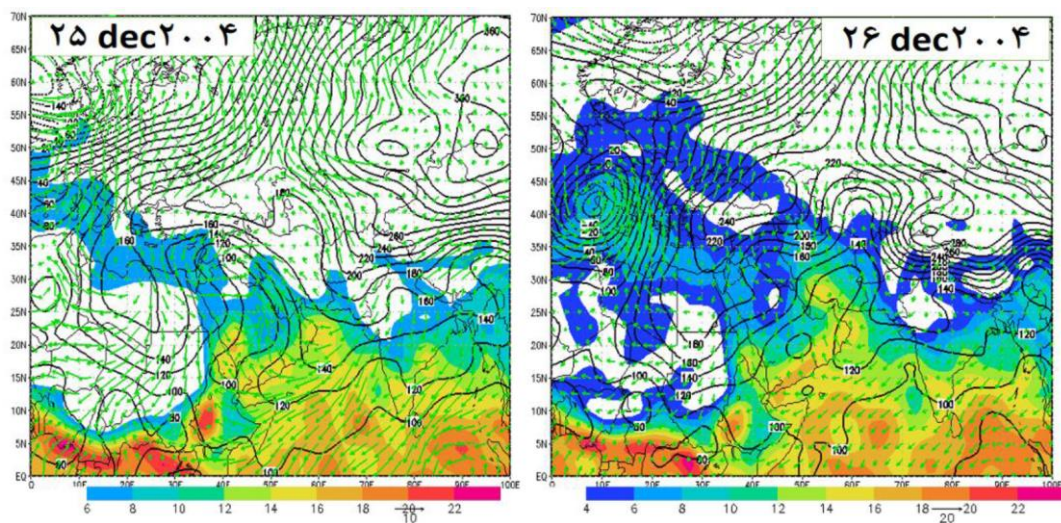
۴) وجود یک جت قطبی در پاد‌جریان سوی جت جنوب‌حراء‌ای همان‌طور که دیده می‌شود شارش واچرخندی ناشی از جت قطبی در انتهای پشته سبب شکست امواج راسی و گسترش قابل‌توجه موج به سمت عرض‌های جنوبی شده و با شارش سرد عرض‌های جنوب قطبی و با توابی مثبت قوی تا جنوب عرض ۲۰ درجه شمالی گسترش یابد. با گسترش جنوب سوی ناوه و فرارفت سرد شدید به درون ناوه به‌تدريج از روز اول به‌روز دوم هسته کم ارتفاع بریده‌ای در درون ناوه بسته شده و به صورت



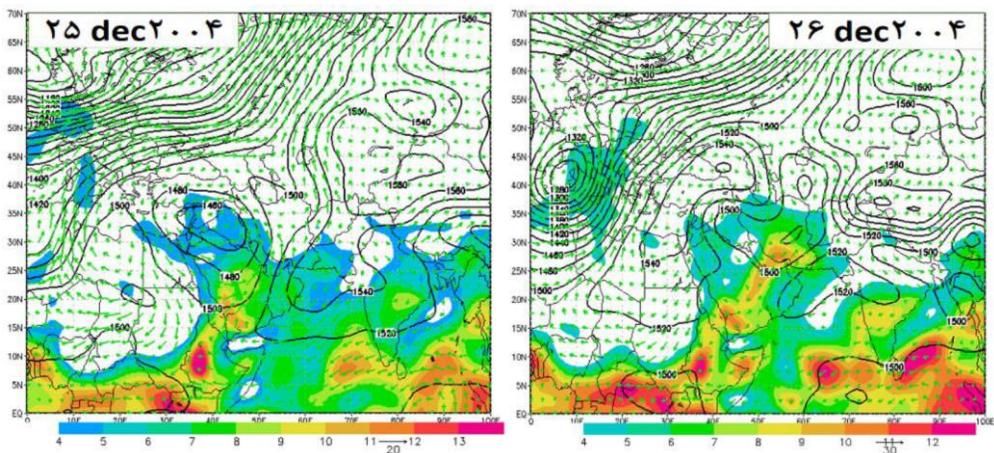
شکل ۸ نقشه ارتفاعی، نم ویژه و وزش دمایی تراز ۱۰۰۰ هکتوپاسکال را در روزهای ۲۶ و ۲۵ دسامبر ۲۰۰۴ نشان می‌دهد. همان‌طور که دیده می‌شود با گسترش جنوب سوی ناوه مدیترانه در ترازهای میانی و بالای وردسپهر بر روی کم‌فشار سودانی و استقرار جت جنوب‌حراء‌ای بر روی شمال غرب عربستان و جنوب غرب ایران و چرخش

امتداد ناوه دریای سرخ یا زبانه کم‌فشار سودانی و جریانات جنوب غربی جلو ناوه مدیترانه‌ای نشان می‌دهد. از ترازهای 850 hPa هکتوپاسکال به بالاتر ارتفاعات سواحل شرقی و غربی دریای سرخ نیز مانعی برای عبور جریانات مرطوب جنوبی نمی‌باشند. در صورتی که ناوه مدیترانه‌ای باعث تعمیق و تقویت ناوه دریای سرخ و کم‌فشار سودان نشود. این هوای مرطوب در مقابل زبانه پرفشار عربستان و توپوگرافی ساحل دریای سرخ مسدود شده و گسترش چندانی بر روی کشورهای حاشیه ندارند. این مطالعه همچنان نشان داد که علاوه بر دریاهای گرم عرب و عمان و دریای سرخ در ترازهای بالاتر از 850 hPa هکتوپاسکال، بخصوص در تراز 700 hPa هکتوپاسکال در امتداد جریانات جنوبی واقرخند عربستان شاخه‌ای از جریانات شرقی از منطقه ITCZ به سمت عرض‌های شمالی جدا شده و با ترکیب با جریانات جنوب غربی جلو ناوه مدیترانه‌ای سبب فرارفت رطوبت منطقه حراء‌ای بر روی منطقه شده است. شکل ۱۱ نمونه‌ای از این جریان رطوبتی را از منطقه ITCZ بر روی منطقه نشان می‌دهد.

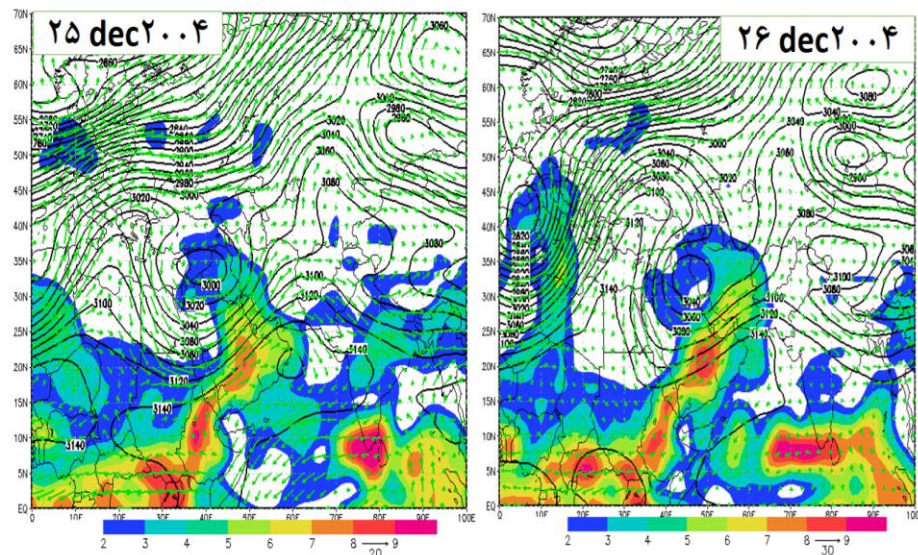
فارافت گرم و مرطوب از روی دریاهای گرم عرب و عمان به‌وسیله جریانات واقرخندی پرفشار جنوب‌حراء‌ای عربستان به درون ناوه دریای سرخ و کم‌فشار سودانی و سپس شارش این رطوبت به‌وسیله جریانات جنوبی ترازهای بالاتر بر روی منطقه مطالعاتی بارش‌های شدیدی را بر روی استان فارس ایجاد نموده است. همان‌طور که ملاحظه می‌شود فرارفت رطوبتی در ترازهای زیرین وردسپهر به دلیل توپوگرافی شرق شبۀ جزیره عربستان و ارتفاعات شمالی و جنوبی خلیج عدن و سواحل دریای سرخ به‌راحتی بر روی منطقه جنوبی ایران و منطقه موردمطالعه انجام نمی‌شود. بلکه این رطوبت با کانالیزه شدن در درون خلیج عدن و دریای سرخ سواحل شرقی و جنوبی شبۀ جزیره عربستان متراکم می‌شود ولی به‌تدريج از تراز 850 hPa هکتوپاسکال و بالاتر اين رطوبت از طریق جریانات همرفتی روی سودان و همگرایی دریای سرخ به درون جریانات جنوب‌حراء‌ای ناوه مدیترانه فرارفت شده، به‌راحتی بر روی جنوب ایران منتقل می‌شود. شکل ۹ و ۱۰ نقشه‌های وزش دمایی و رطوبتی ترازهای 850 hPa و 700 hPa هکتوپاسکال به‌خوبی فرارفت رطوبتی را در



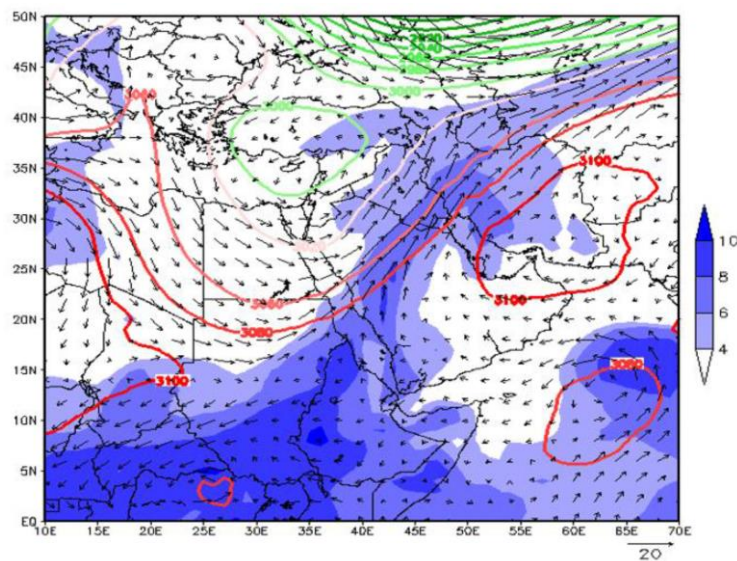
شکل ۸: نقشه ارتفاعی، نم ویژه و وزش دمایی تراز 1000 hPa روزهای ۲۵ و ۲۶ دسامبر ۲۰۰۴



شکل ۹: نقشه ارتفاعی، نم ویژه و وزش دمایی تراز ۸۵۰ هکتوپاسکال روزهای ۲۶ و ۲۵ دسامبر ۲۰۰۴



شکل ۱۰: نقشه ارتفاعی، نم ویژه و وزش دمایی تراز ۷۰۰ هکتوپاسکال روزهای ۲۶ و ۲۵ دسامبر ۲۰۰۴



شکل ۱۱: نمونه‌ای از این جریان رطوبتی از منطقه ITCZ بر روی منطقه

۳۰۰، ۵۰۰) به این نتیجه رسیدیم که تراز ۲۵۰ هکتوپاسکال مناسب‌ترین تراز برای بررسی جت جنوب‌هارهای می‌باشد. بررسی سالانه جت جنوب‌هارهای در تراز ۲۵۰ هکتوپاسکال برای ماههای بارشی (اکتبر تا می) نشان داد که:

- ۱) مهم‌ترین جت تأثیرگذار در پدیده‌های اقلیمی و شرایط جوی روزانه نوار جنوب و جنوب غربی کشور ایران جت جنوب‌هارهای است.
- ۲) محور جت‌ها در طول دوره ۲۱ ساله پراکنشی در ماه اکتبر بین عرض‌های ۲۵ تا ۳۸ درجه شمالی دارند. مرکز محورها در محدوده عرض ۳۲ درجه شمالی است. به دلیل جابجایی کند جنوب سوی پرفشار جنوب‌هارهای عربستان، جت جنوب‌هارهای نیز جابجایی جنوب سوی مناسبی ندارد. و به همین دلیل بارش‌ها در نوار جنوبی شروع نشده یا تا پایان اکتبر به تاخیر می‌افتد.
- ۳) محور جت جنوب‌هارهای در ماه نوامبر عموماً در جنوب عرض ۳۲ درجه شمالی قرار دارند و از ضلع جنوبی تا عرض ۲۰ درجه نیز گسترش پیدا کرده‌اند. مرکز اصلی محورها در محدوده عرض ۲۸ تا ۲۹ درجه شمالی است و از لحاظ گسترش طولی محدوده‌ای بین ۲۵ درجه شرقی (مصر) تا ۶۰ درجه شرقی (جنوب شرق ایران) را در برگرفته‌اند. این جابجایی سریع محورها بیانگر جابجایی جنوب سوی قابل توجه پرفشار جنوب‌هارهای عربستان و جت جنوب‌هارهای مرتبط با آن از ماه اکتبر تا نوامبر است. بنابراین ماه نوامبر شروع فصل بارشی در جنوب و جنوب غرب ایران و در عین حال تغییر ناگهانی از شرایط تابستانی به شرایط پاییزی در این منطقه است.
- ۴) پراکنش محور جت جنوب‌هارهای در ماه دسامبر نسبت به ماههای اکتبر و نوامبر منظم‌تر و یکنواخت تر می‌باشد به‌جز در چند مورد استثنای

نتیجه‌گیری

در مطالعه حاضر از دو روش گردشی به محیطی و محیطی به گردشی استفاده شده است. در مرحله اول داده‌های مورد نیاز (بادمداری و نصفالنهاری) از سایت <http://www.esrl.noaa.gov> دریافت گردید و سپس در محیط نرم‌افزار Grads پس از ترکیب باد مداری و نصفالنهاری نقشه‌های جت در ماههای دوره بارشی (اکتبر تا می) ترسیم گردید و محور جت جنوب‌هارهای پس از ترسیم نقشه پایه در محیط نرم‌افزاری ArcGIS 10.4 ترسیم گردید. از داده‌های بارشی ۹ ایستگاه همدید استان فارس در یک دوره آماری ۲۱ ساله استفاده شده است. برای بررسی خشکسالی‌ها و ترسالی‌ها از شاخص SPI استفاده شده است برای محاسبه شاخص از نرم‌افزار DIP استفاده گردید. نتایج حاصل از شاخص SPI برای ایستگاه‌های مورد مطالعه نشان داد که شدیدترین ترسالی‌های استان در سال (۱۳۸۴-۸۵) رخ داده است و در همه ایستگاه‌های استان فراگیر بوده است. درنهایت روزهای بارشی در سال‌های با ترسالی شدید مورد بررسی قرار گرفت و روزهایی که در تمامی ایستگاه‌ها بارش به صورت فراگیر و بالای ۲۰ میلی‌متر به ثبت رسیده به عنوان نمونه بارشی انتخاب گردید و نقشه‌های ترکیبی شامل نقشه جت جنوب‌هارهای، توپوگرافی، نم ویژه و وزش دمایی در ترازهای ۷۰۰ تا ۱۰۰۰ تا ۲۰۰ هکتوپاسکال ترسیم گردیده است. موقعیت جت در دوره بارشی منطقه در ۲۱ سال مورد بررسی قرار گرفت و بهترین موقعیت جت برای ایجاد بارش بر روی منطقه محدوده بین غرب مصر تا غرب خلیج فارس هست. (در این تحقیق و هم در رساله (محمدی، ۱۳۹۶؛ لشکری و محمدی، ۲۰۱۸) و (خورانی، ۱۳۸۴) با بررسی جت در ترازهای ۲۰۰، ۲۵۰،

و حتی مارس کاهش محسوسی پیدا کند. مطالعه انجام شده بر روی هسته‌های مرکزی پرفشار جنوب‌حاره‌ای عربستان نیز نشان داد که هسته‌های پرفشار در این ماه جابجایی شمال سوی قابل توجهی داشته است (محمدی و همکاران، ۱۳۹۶). این جابجایی در هسته مرکزی پرفشار و همچنین محور جت جنوب‌حاره‌ای شاید یکی از دلایل اصلی کاهش بارش‌ها در این بخش از کشور در ماه فوریه است.

۷) ویژگی بارز محورهای دو ماه فوریه و مارس طول بسیار زیاد محور اصلی جت جنوب‌حاره‌ای است. این بهمنزله عمق کم ناوه و مداری شدن جریانات در عرض‌های جنوب‌حاره‌ای است.

۸) در ماه آوریل که ماه انتقالی از زمستان به بهار و ماه اعتدالین است. محورها دارای طول نسبتاً کوتاه و کشیدگی در جهت جنوب غرب تا شمال شرق دارند. این ماه نیز ماه بارشی نسبتاً خوبی بخصوص در ایستگاههای پای کوهی و کوهستانی زاگرس جنوبی و میانی است.

۹) پراکنش محور جت جنوب‌حاره‌ای در ماه می جابجایی شمال سوی فراوانی را نشان داد به‌طوری‌که عمدۀ محورها در بالای عرض ۲۴ درجه شمالی قرار داشته و تا عرض ۳۵ درجه شمالی نیز گسترش پیدا کرده‌اند. از ویژگی بارز دیگر محورها انتقال تعداد زیادی از محورها بر روی غرب ایران است. به‌طوری‌که حدود نصف محورها در محدوده عراق و شمال عربستان تا مرکز و شرق ایران قرار دارند. در این سال‌ها به‌طورقطع بارش‌ها با توجه به الگوی گسترش جت و موقعیت منطقه جنوب و جنوب غرب نسبت به موقعیت جت، بارش بسیار اندکی دریافت کرده و سامانه‌های بارشی کمتری وارد منطقه شده و یا از ناپایداری مناسبی برخوردار نبوده‌اند. به همین

که محورها بین بر روی ایران قرار داشته یا حالت نامتقارنی دارند در سایر سال‌ها محورهای جت جنوب‌حاره‌ای در محدوده نرمال خودبین مصر تا غرب خلیج‌فارس استقرار دارند. تمرکز اصلی محورها بین عرض‌ها ۲۶ تا ۲۴ درجه شمالی قرار دارند. موقعیت عمومی محورها به‌گونه‌ای است که جنوب و جنوب غرب ایران در مناسب‌ترین موقعیت از جت جنوب‌حاره‌ای (سمت چپ خروجی جت) قرار می‌گیرد.

۵) پراکنش محور جت جنوب‌حاره‌ای در ماه ژانویه با توجه به نزدیک شدن به سردرین ماه نیمکره شمالی و فرارفت‌های سرد شدیدتر عرض‌های شمالی از طریق ناووهای گسترش یافته و شکست در امواج راسبی جت جنوب‌حاره‌ای و جت قطبی به هم نزدیک‌تر شده و به دلیل شیو حرارتی شدیدتر ایجاد شده در محدوده پرفشار جنوب‌حاره‌ای عربستان و ناوه شرقی مدیترانه هسته‌های جت متعددتری شکل گرفته است. کوتاه شدن محور طولی هسته جت از دیگر ویژگی‌های جت در ماه ژانویه می‌باشد که بیانگر افزایش سرعت در هسته جت و به‌تبع ایجاد کژفشاری شدیدتر شده است.

۶) محور جت جنوب‌حره‌ای در ماه فوریه به سمت عرض‌های شمالی جابه‌جا شده است. به‌طوری‌که عمدۀ محورها در موقعیتی بالاتر از عرض ۲۵ درجه شمالی قرار دارند. تمرکز اصلی محورها از لحاظ طولی در محدوده مصر تا غرب طول ۵۵ درجه شرقی (دامنه شرقی زاگرس میانی و جنوبی) است. ولی گاهی محورها تا پاکستان نیز گسترش داشته‌اند. از ویژگی بارز محورهای این ماه طول بسیار زیاد محورها و جابجایی شرق سوی محورها به خصوص بر روی ایران است. مجموع این شرایط سبب شده است که مجموع بارش‌ها این ماه نسبت به ماه‌های ژانویه و دسامبر

ترکیه امتداد می‌باید. این الگو با نتایج مقالات (الفندی، ۱۹۵۰؛ باتین، ۱۹۹۲؛ سارونی و زیو، ۲۰۰۰؛ کهاناو همکاران، ۲۰۰۲؛ کریچاک و همکاران، ۲۰۱۲). در مورد تراف دریای سرخ و اثر آن بر بارش‌های ساحل شرقی مدیترانه همخوانی دارد.

^۳ بررسی نقشه‌های ارتفاعی، نم ویژه و وزش دمایی تراز ۱۰۰۰ تا ۷۰۰ هکتوپاسکال در روزهای ۲۶ و ۲۵ دسامبر ۲۰۰۴ نشان داد که گسترش جنوب سوی ناوه مدیترانه در ترازهای میانی و بالای وردسپهر بر روی کم‌فشار سودانی و استقرار جت جنب‌حاره‌ای بر روی شمال غرب عربستان و جنوب غرب ایران و چرخش نصف‌النهاری آن (امتداد جنوب غربی – شمال شرقی) زبانه کم‌فشار سودانی تقویت قابل‌لاحظه‌ای پیدا کرده و با گسترش شمال سوی خود در امتداد جریانات جنوبی ترازهای بالا در روز اول تا شمال ترکیه و با جابجایی شرق سوی ناوه مدیترانه‌ای در روز دوم تا شمال ترکمنستان و ساحل شرقی دریای مازندران گسترش یافته است. فرارفت گرم و مرطوب از روی دریاهای گرم عرب و عمان به‌وسیله جریانات واچرخندی پرفشار جنب‌حاره‌ای عربستان به درون ناوه دریای سرخ و کم‌فشار سودانی و سپس شارش این رطوبت به‌وسیله جریانات جنوبی ترازهای بالاتر بر روی منطقه مطالعه ایجاد شدیدی را بر روی استان فارس ایجاد نموده است.

^۴ وجود توپوگرافی شرق شبه‌جزیره عربستان و ارتفاعات شمالی و جنوبی خلیج عدن و سواحل دریای سرخ سبب شده است که فرارفت رطوبتی در ترازهای زیرین وردسپهر بر روی منطقه جنوبی ایران و منطقه موردمطالعه انجام نشود بلکه این رطوبت با کانالیزه شدن در درون خلیج عدن و دریای سرخ سواحل شرقی و جنوبی شبه‌جزیره

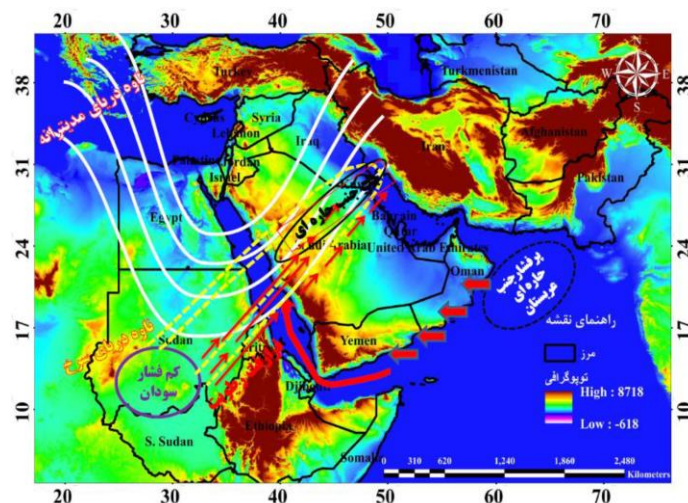
دلیل می‌توان گفت ماه انتقالی واقعی در بخش جنوب و جنوب غربی کشور ماه می است که شرایط زمستانی به‌یک‌باره به شرایط تابستانی در ماه ژوئن تغییر می‌باید.

برای تحلیل همدیدی و ترمودینامیکی ساختار جو و الگوی گسترش جت جنب‌حاره‌ای روزهای ۲۵ و ۲۶ دسامبر ۲۰۰۴ به عنوان شدیدترین روزهای بارشی سال انتخاب شده نتایج نشان داد که:

- (۱) در هر دو روز پشتیه بسیار گسترده و عمیقی با راستای کاملاً جنوبی – شمالی از روی صحرای آفریقا (محدوده طولهای ۱۰ تا ۳۰ درجه شرقی) به عرضهای شمالی گسترش یافته و تا حدود عرض ۶۰ درجه شمالی (جنوب کشور) تداوم دارد. با گسترش قابل‌توجه پشتیه بر روی اروپا و امتداد آن تا عرض جنوب قطبی جریانات بر روی اروپای شرقی، شرق مدیترانه و شمال شرق صحرای افریقا کاملاً شمالی شده و فرارفت سرد عرضهای شمالی تا مرکز سودان گسترش یافته که پربندها کاملاً نصف‌النهاری شده و بیانگر فرارفت تاوایی مثبت قوی بر روی مصر و سودان است.

- (۲) با گسترش جنوب سوی ناوه و فرارفت سرد شدید به درون ناوه به‌تدریج از روز اول به‌روز دوم هسته کم ارتفاع بریده‌ای در درون ناوه بسته شده و به‌صورت یک برکه هوای سرد که گسترش جنوب سوی قابل‌توجهی پیدا کرده است شیوه حرارتی شدیدی در بالادست جت ایجاد نموده است. با فرارفت رطوبت از دریاهای گرم جنوبی و همراه شدن آن با ناوه وردسپهر بالایی منجر به ایجاد شرایط ناپایداری بر روی دریای سرخ، سودان و شمال اتیوپی گردیده و زبانه‌ای از کم‌فشار سودان به شکل V وارونه به سمت عرضهای شمال تا شمال غرب عربستان و گاه به‌صورت یک ناوه وارون تا شرق مدیترانه، جنوب

جريانات جنوبی و اچرخند عربستان شاخه‌ای از جريانات شرقی از منطقه ITCZ به سمت عرض‌های شمالی جدا شده و با ترکیب با جريانات جنوب غربی جلو ناوه مدیترانه‌ای سبب فرارفت رطوبت منطقه حاره‌ای بر روی منطقه شده است. شکل ۱۲ الگوی همدیدی خلاصه شده از اندرکنش سامانه‌ها و نقش جت جنوب حاره‌ای برای ایجاد یک بارش شدید در نوار جنوب کشور را نشان می‌دهد.



شکل ۱۲: الگوی همدیدی خلاصه شده از اندرکنش سامانه‌ها و نقش جت جنوب حاره‌ای

عربستان متراکم می‌شود ولی به تدریج از تراز ۸۵۰ هکتوپاسکال و بالاتر این رطوبت از طریق جريانات همرفتی روی سودان و همگرایی دریای سرخ به درون جريانات جنوب-جنوب غربی ناوه مدیترانه فرارفته شده، به راحتی بر روی جنوب ایران منتقل می‌شود.

(۵) علاوه بر دریاهای گرم عرب و عمان و دریاچه سرخ در ترازهای بالاتر از ۸۵۰ هکتوپاسکال، به خصوص در تراز ۷۰۰ هکتوپاسکال در امتداد

- منوچهر فرزاده اصل و حسن لشکری، تهران، دانشگاه تربیت مدرس.
عساکر، ح.، قائمی، م. و بیرونند، آ.، ۱۳۹۴. روند تغییرات فصلی رودباد جنوب حاره در محدوده اقلیمی ایران طی دهه‌های اخیر، پژوهش‌های جغرافیای طبیعی، شماره ۴۷، ص ۵۲-۷۲.
عزیزی، ق. و سفر راد، ط.، ۱۳۹۱. تحلیل ویژگی‌های جريان‌های جتی طی فازهای (ENSO) مطالعه موردي، سال‌های ۱۹۹۷، ۲۰۰۸، ۲۰۱۰، نشریه پژوهش‌های اقلیم‌شناسی، سال ۳، شماره ۹، ص ۶۹-۸.

منابع

- آورین، ع.، سجادیان، م.، قانقرمه، ع. و حیدری، ج.، ۱۳۹۴. تأثیر جريان‌های جتی جنوب حاره‌ای بر بارش روزانه بیش از ۵ میلی‌متر در حوضه زاینده‌رود، پژوهش‌های جغرافیای طبیعی، دوره ۴۷، شماره ۱، ص ۱۲۵-۱۴۲.
- ترابی، ع.، ۱۳۵۵. جت استریم روی ایران، پایان نامه کارشناسی ارشد هواشناسی، دانشگاه تهران.
-خورانی، ا.، ۱۳۸۴. تعیین موقعیت جت در رابطه با سامانه‌های بارشی غرب کشور در دوره زمانی ۱۹۹۰-۱۹۹۹، پایان نامه کارشناسی ارشد اقلیم‌شناسی و برنامه‌ریزی محیطی، به راهنمایی

- پژوهش‌های دانش زمین، سال هشتم، شماره ۳۰، ص ۱۴۱-۱۶۳.
- لشکری، ح. و محمدی، ز.، ۱۳۹۴. اثر موقعیت استقرار پرشار جنوب حاره‌ای عربستان بر سامانه‌های بارشی در جنوب و جنوب غرب ایران، پژوهش‌های جغرافیای طبیعی، دوره ۴۷، شماره ۱، ص ۷۳-۹۴.
- لشکری، ح.، ۱۳۸۲. مکانیسم تکوین و توسعه کم‌پرشار سودان و اثر آن بر روز بارش‌های جنوب و جنوب غرب ایران، پژوهش‌های جغرافیای طبیعی، نسخه ۴۶، ص ۱-۱۸.
- لشکری، ح.، متکان، ع.ا.، آزادی، م. و محمدی، ز.، ۱۳۹۶. تحلیل همدیدی نقش پرشار جنوب حاره‌ای عربستان و روبداد جنوب حاره‌ای در خشکسالی‌های شدید جنوب و جنوب غرب ایران، دکتری، دانشگاه شهید بهشتی.

-Bitan, A. and Saaroni, H., 1992. The horizontal and vertical extension of the persian Gulf pressure trough, International Journal of Climatology, v. 12, p. 733-747.

-Blackburn, M., Hoskins, B. and Slingo, J., 2007. Notes on the Meteorological Context of the UK Flooding in June and July 2007, NCAS-Climate and Department of Meteorology.

-Dayan, U. and Abramski, R., 1986. Heavy Rain in the Middle East related to unusual Jet Stream properties, Bulletin of the American Meteorological Society.

-Elfandy, M.G., 1950. Troughs in the upper westerlies and cyclonic Developments in the Nile valley, Quart. J. Roy. Meteor. Sec, v. 76, p. 166-172.

-Gaetani, M., Baldi, M., Ciardini, V., Dalu, G. and Maracchi, G., 2011. The role of the jetstream on the extreme precipitation in the Euro-Mediterranean region: the 2009-2010 case studies, v. 13, p. 2011-5812.

-Lashkari, H. and Mohammadi, Z., 2018. Study on the role of annual

movements of Arabian subtropical high pressure in the late start of precipitation in southern and southwestern Iran, Theoretical and Applied Climatology, p 1-8.

- Shen, J., 1968. Profiles of infrared irradiance and cooling through a jet stream.

-Kahana, R., Ziv, B., Enzel, Y. and Dayan, U., 2002. Synoptic climatology of major floods in the Negev desert, Israel International Journal of Climatology, v. 22, p. 867-882.

-Klein, W.H., 1984. Winter Precipitation as Related to 700 mb Circulation, Bull. Amer. Meter, v. 29, p. 439-503.

-Krichak, J., Breitgand, S. and Feldstein, S.B., 2012. A conceptual model for the identification of the active Red sea trough synoptic events over the southeastern Mediterranean, Journal of Applied Meteorology and Climatology, v. 51, p. 962-971.

-Krichak, S. and Alpert, P., 1994. Effects of winter monsoon Variability

- in the eastern Mediterranean 616, WCRP-84, p. 215-222.
- Peters, D. and Waugh, D.W., 2003. Rossby wave breaking in the southern hemisphere wintertime upper troposphere, *Mon. Weather Rev.*, v. 131, p. 2623-2634.
- Saaroni, H. and Ziv, B., 2000. Summer rain episodes in a Mediterranean climate, the case of Israel: climatological-dynamical analysis, *International Journal of Climatology*, v. 20, p. 191-209.
- Smith, W. and Younkin, R.J., 1972. An operationally useful relationship between the polar jet stream and heavy precipitation, *national meteorological center, national weather service, NOAA, suitlandspring precipitation in Europe, International Journal of Climatology*, v. 20, p. 565-574.
- Yang, S., Lau, K.M. and Kim, K.M., 2002. Variations of the East Asian Jet Stream and Asian-Pacific-American Winter Climate Anomalies, *J. Climate*, v. 15, p. 306-325.
- Ziv, B. and Paldor, N., 1999. the divergence fields associated with time-dependent jet streams, *journal of that atmosphere sciences, von*, v. 56, p. 1843-1858.
- Cutlip, 2003. Jet stream changes linked to prairie drought, *Weatherwise*, 56 p.